

# تحلیل مقاومت به خوردگی آرماتورهای فولادی پوشش دهی شده با رنگ‌های صنعتی پایه آلی توسط روش طیف‌سنجدی امپدانس الکتروشیمیایی

یدالله یعقوبی نژاد<sup>۱\*</sup>، عبدالله افشار<sup>۲</sup>، ابوالقاسم دولتی<sup>۲</sup>

۱- استادیار، دانشکده مهندسی مکانیک و مواد، دانشگاه صنعتی بیرجند، بیرجند، خراسان جنوبی، ایران

۲- استاد، دانشکده مهندسی و علم مواد، دانشگاه صنعتی شریف، تهران، ایران

\*عهده دار مکاتبات: Yaghoubinezhad@birjandut.ac.ir

(تاریخ دریافت: ۱۰/۱۹/۱۳۹۵، تاریخ پذیرش: ۱۶/۱۲/۱۳۹۵)

**چکیده:** در این پژوهش از سامانه‌های پوششی آستر پایه آلکیدی، آستر اپوکسی غنی از روی، آستر پلی آمید، رویه پلی یورتان، رویه اپوکسی، رویه آلکیدی، آستر آلکیدی-رویه آلکیدی و آستر اپوکسی پلی آمید-رویه آلکیدی جهت بررسی تأثیر پوشش دهی سطح آرماتور، در مقایسه با سایر روش‌های حفاظت از بتن مسلح استفاده گردید. جهت ارزیابی خواص بتن و لایه‌های ایجاد شده از آزمون‌های استحکام فشاری و طیف‌سنجدی امپدانس الکتروشیمیایی در کنار آزمون pull off استفاده شد. نتایج نشان می‌دهد روش طیف‌سنجدی امپدانس الکتروشیمیایی به عنوان روشی غیر مخرب و دقیق می‌تواند نقش بسزایی در تحلیل تعداد لایه‌ها و پیش‌بینی مقاومت به خوردگی بتن مسلح ایفا نماید. همچنین در محیط‌های خورنده، سامانه‌ی پوشش دهی دو جزئی ایزو‌سیانات-آلکلیریک تحت عنوان پلی یورتان با مقاومت کل  $7/3 \text{ G}\Omega \cdot \text{cm}^2$ ، به عنوان بهینه‌ترین سامانه‌ی پوششی جهت حفاظت از آرماتور قرار گرفته در بتن عمل می‌نماید.

## واژه‌های کلیدی:

خوردگی، رنگ، بتن، آرماتور، طیف‌سنجدی امپدانس الکتروشیمیایی.

## ۱- مقدمه

فرآیندی است که در آن طی واکنش آندی، آهن موجود در آرماتور فولادی به یون‌های فرو تبدیل شده و محصول این واکنش وارد محلول آبی موجود در منافذ بتن می‌گردد. در ادامه‌ی فرآیند انحلال آهن، یون‌های فرو به یون فریک تبدیل شده و با رسوب هیدراته فریک در فضای محدود بتن، باعث ایجاد تنش در بتن می‌گردد، در این حالت ورود عوامل مهاجم، اکسیژن و رطوبت از طریق ترک‌های ایجاد شده سریع تر رخداده و منجر به تخریب نهایی سازه می‌گردد [۵]. جهت افزایش مقاومت‌به‌خوردگی و دوام سازه‌های بتنی روش‌های متفاوتی از جمله افزودن مواد-پوزولانی به بتن، استفاده از انواع ممانعت کننده‌های آندی و

بتن با وجود توانایی تحمل تنش‌های فشاری بالا، در کشش عملکرد ضعیفی از خود نشان می‌دهد. ضعف این ماده‌ی مهم و پرمصرف ساختمانی در مقابل کشش با قرار دادن آرماتور تا حد زیادی جبران شده است. در سال‌های اخیر و با بررسی دوام سازه‌های بتنی مسلح بهویژه در مناطق خورنده، نظر اکثر کارشناسان به این مسئله جلب شده است که مقاومت به‌نهایی نمی‌تواند جوابگوی کلیه خواص مربوط به بتن بخصوص دوام آن باشد و لازم است در طراحی بتن برای مناطق مختلف علاوه بر مسئله تحمل بارها در طول مدت بهره‌دهی، مقاومت به خوردگی و دوام آن نیز مدنظر قرار گیرد [۴-۱]. خوردگی فولاد در بتن

پلی آمید، پلی آمین، پلی آمینوآمید و کتیمین اشاره نمود [۱۲]. پوشش اپوکسی با استاندارد ASTM A775 انجام می‌شود [۱۳]. پوشش پایه‌پلی‌بورتان: پوشش‌های پلی‌بورتان تا ضخامت ۴۰۰ میکرون قابل اعتماد هستند [۱۴]. بزرگ‌ترین و مهم‌ترین عیب پوشش‌های پلی‌بورتان سمیت آن‌ها است. خواص فیزیکی و شیمیایی آن‌ها مطلوب است و در برابر ضربه، سایش، خراش و شرایط خورنده و محیط‌های دریایی مقاومت طولانی مدت دارند. پوشش پلی‌بورتان مشکل از ایزوپیتانات‌ها، ترکیبات دارای گروه‌های OH، حلال، رنگ‌دانه، پرکننده و مواد افزودنی می‌باشد [۱۰].

در میان روش‌های ارزیابی میزان خوردگی آرماتور فولادی در بتن، به دلیل مقاومت‌های بالای لایه‌های تشکیل‌دهنده، اعم از بتن و انواع پوشش‌ها، طیف‌سنجدی امپدانس الکتروشیمیایی از جایگاه ویژه‌ای برخوردار است. تاریخچه استفاده از طیف‌سنجدی امپدانس الکتروشیمیایی به عنوان روشی غیر مخرب در بررسی خواص بتن به دو دهه پیش بازمی‌گردد [۱۵]. معمولاً روش‌های الکتروشیمیایی برای مواد رسانا استفاده می‌شوند درحالی‌که از آزمون الکتروشیمیایی برای بررسی پوشش‌های غیر رسانا نیز می‌توان بهره جست. اصول الکتروشیمیایی موجود بر اساس اعمال موج پتانسیل متناوب با دامنه ثابت در گستره‌ی ۰-۵ mV تا ۱۰ MHz انجام می‌گیرد. تغییرات بالای فرکانس اطلاعات مفیدی راجع به خواص مرتبط با تخلخل از جمله تغییر در دی‌کتریک بتن براثر افزودنی‌ها، ویژگی‌های مکانیکی (استحکام)، نفوذ یون کلر و فرایند سخت شدن بتن ارائه می‌دهد [۱۶]. علاوه بر این، طیف‌سنجدی امپدانس الکتروشیمیایی یک روش بسیار مناسب در تحلیل میزان حفاظت پوشش‌های آلی به شمار می‌آید [۱۷]. لازم به ذکر است، اگرچه غالباً بررسی عملکرد میزان حفاظت پوشش‌های آلی در بازه‌های زمانی بلند مدت (۳۰ روز تا چندین سال) گزارش شده است [۱۸]، ولی مقالاتی نیز عملکرد انواع پوشش‌های محافظت را تا چندین ساعت پس از قرار گیری در محیط خورنده و ایجاد شرایط پایا بررسی نموده اند [۱۹]. با این روش می‌توان تغییرات

کاتدی، حفاظت کاتدی، تغییر جنس آرماتور در بتن و انواع سامانه‌های پوشش‌دهی استفاده می‌گردد [۶]. در این‌بین، یکی از روش‌های متداول و مؤثر کاوش خوردگی آرماتورهای فولادی در بتن، استفاده از انواع پوشش‌های مختلف بر روی سطح آرماتور است. پوشش‌دهی آرماتور را می‌توان در گروه‌های استفاده از پوشش گالوانیزه گرم با مکانیزم حفاظت کاتدی با آندهای موضعی فداشونده، بهره‌گیری از رنگ‌های مقاوم در برابر خوردگی مانند اپوکسی‌پلی‌آمید، غنی‌ازروی و انواع پوشش‌های تبدیلی مانند پوشش‌های فسفاته و کروماته تقسیم‌بندی نمود [۷]. در میان روش‌های مختلف حفاظت از سطح، استفاده از پوشش‌های آلی در جهان برای محافظت بیش از ۸۵٪ از سطوح به کار می‌رود [۸]، به طوری که امروزه با پیشرفت علم‌پلیمر، رنگ‌های آلی پیشرفت قابل توجهی داشته‌اند به گونه‌ای که اغلب موارد در صنعت از رنگ‌های آلی استفاده می‌شود [۸-۹]. در ادامه به پرکاربردترین پوشش‌های بر روی آرماتور قرار گرفته در بستر بتنی اشاره می‌شود. پوشش پایه آلکیدی: این پوشش‌ها از مقاومت نسبتاً خوبی در مقابل آب برخوردارند، رزین این رنگ‌ها با اکسیژن خشک می‌شود و به عنوان آستری در سطوح زیرآب و به عنوان آستری و لایه میانی برای پوشش‌های فوکانی نیز استفاده می‌شود. رنگ پایه آلکیدی آستری، بنام آلکیدی درجه سه یا ضدزنگ بارنگ معمولاً قرمز، رنگ آلکیدی میانه با عنوان آلکیدی درجه دو با فام طوسی و رنگ رویه معمولاً براق و با فام روش شناخته می‌شود [۹]. از استاندارد ۵-۱۲۹۴۴ EN ISO جهت پوشش‌های آستری استفاده می‌شود.

پوشش اپوکسی‌پایه‌آمید: رزین‌های اپوکسی در مقابل مواد شیمیایی نسبتاً مقاوم هستند. پوشش‌های اپوکسی برای سطوح در مجاورت محلول‌های نمکی با غلظت‌های زیاد و در دماهای بالا و آب دریا قابل استفاده هستند. اپوکسی‌کولتار و پلی‌آمید در گستره‌ی ۱۵ تا ۳۸ درجه‌سانتی‌گراد بازدهی خوبی دارند [۱۰-۱۱]. از انواع رزین اپوکسی می‌توان به رزین اپوکسی‌پایه فنول A، B، نووالاک، آلفاتیک، سیکلوآلفالیک، هتروسیکلیک، فنوکسی،

عملیات چربی‌گیری قرار گرفته و خشک شدند. در آماده‌سازی بتن از دو نوع قالب برای آماده‌سازی نمونه‌های بتنی استفاده شد. قالب‌های فلزی مکعبی با ابعاد  $100 \times 100 \times 100$  mm جهت انجام آزمون استحکام فشاری طرح اختلاطها استفاده شد و قالب‌های استوانه‌ای شکل از جنس لوله پلیکا به قطر ۸۶mm و ارتفاع ۱۲۰mm جهت آزمون‌های الکتروشیمیایی تهیه شدند. جهت بررسی رفتار خوردگی سطح  $37/7 \text{ cm}^2$  انتخاب گردید و مابقی آرماتور توسط رنگ اپوکسی آستری و بر روی آن نوار تفلون برای جلوگیری از نفوذ یون کلر و تخریب آرماتور آبندی گردید.

## ۲-۲- سامانه‌های پوششی بر روی سطح آرماتور

سامانه‌های پوشش دهی به سه بخش کلی تقسیم گردید. در بخش اول از رنگ‌های زیر لایه آلکیدی (آستری) استفاده شد. در بخش دوم رنگ‌های رویه متداول استفاده شد؛ که در گروه اپوکسی از رنگ رویه اپوکسی پلی آمید با فام سبز، رنگ رویه آکلریک-ایزوسانات (پلی یورتان) با فام سفید و رنگ رویه آلکیدی براق (درجه ۱ از نظر کیفیت) استفاده شد. سامانه حفاظتی در بخش سوم از ترکیب دو سامانه اول طراحی شد. بدین معنا که از یک لایه آستری و بر روی آن یک لایه رنگ رویه استفاده شد. در این بخش از دو سامانه استفاده شد که در سامانه اول از رنگ آستری آلکیدی با فام طوسی (درجه ۲ از نظر کیفیت) به عنوان زیر لایه و از رنگ آکلریک رویه براق (درجه ۱ از نظر کیفیت) به عنوان لایه بیرونی استفاده شد. در سیستم حفاظتی دوم از رنگ آستری اپوکسی پلی آمید با فام قهقهه‌ای سوخته به عنوان زیر لایه و از رنگ آکلریک رویه براق (درجه ۱ از نظر کیفیت) به عنوان لایه بیرونی استفاده شد.

جهت تهیه پوشش‌های آلکیدی، ۵CC رنگ با چند قطره حلال-T برای رسیدن به رقت مطلوب آماده شد. این لایه توسط قلم مو طی چهار مرحله با فاصله زمانی ۲۴ ساعت بر روی آرماتور اعمال گردید. در آستر و رویه رنگ‌های غیر آلکیدی، رنگ با نسبت ۱ به ۳ نسبت به سخت کننده استفاده شد و جهت خشک شدن عمیق،

کمی رفتار رنگ، پوشش بتن و لایه محافظ در محیط بتنی و تغییرات مقاومت پوشش بر روی فلز را موردنبررسی قرارداد. مقادیر ظرفیت و مقاومت به دست آمده از هر فرکانس می‌تواند اطلاعات مفیدی راجع به نرخ خوردگی، نفوذ و ویژگی‌های پوشش، مقاومت الکتریکی بتن، مقاومت الکتریکی محلول، مقاومت انتقال بار RCT و ظرفیت دوگانه الکتریکی  $C_{dl}$  ارائه نماید.

در این پژوهش جهت افزایش مقاومت به خوردگی بتن مسلح از ۸ سامانه‌ی پوششی، بر روی سطح آرماتور استفاده شد که عبارت اند از سامانه‌های پوششی آستر پایه آلکیدی، آستر اپوکسی غنی از روی، آستر اپوکسی پلی آمید، رویه پلی آلکیدی، رویه اپوکسی پلی آمید، رویه پلی یورتان، آستر آلکیدی-رویه آلکیدی، آستر اپوکسی پلی آمید-رویه آلکیدی و از آزمون طیف‌سنگی امپدانس الکتروشیمیایی جهت ارزیابی مقاومت به خوردگی هر سامانه و مقایسه کمی هر یک از روش‌های حفاظت، استفاده شده است.

## ۲- مواد و روش انجام تحقیق

### ۲-۱- ترکیب شیمیایی و آماده‌سازی بتن مسلح

از آرماتور فولادی ساده کربنی با درصد کربن کمتر از  $0.2\%$  در بتن با طرح اختلاط مشکل از شن گرانیتی دو بار شسته شده (۸۲۳Kg) با اندازه دانه بین  $4/5$  تا  $9$  میلی متر، ماسه تهران (۴۰۰ Kg) و سیمان نوع ۲ (سیمان  $400 \text{ Kg}$  و نسبت آب به سیمان  $0.4/0$ ) در کنار ۱ کیلوگرم فوق روان‌ساز استفاده شد. آرماتور فولادی با قطر  $10 \text{ mm}$  به طول  $120 \text{ mm}$  بریده شد. سپس جهت از بین بردن زنگ  $15\% \text{ HCl}$  آهن (آرماتورهای فولاد ساده کربنی st ۳۷) در محلول  $20 \text{ همراه با } 5/00\%$  اوروتروپین (به عنوان ممانعت کننده) به مدت  $20$  دقیقه تحت امواج مافوق صوت توسط دستگاه Sonica-1200M قرار گرفتند. پس از اسید شویی با آب شهری شسته شده و با سنباده‌های  $60$  تا  $600$  برای رسیدن به کیفیت سطحی مناسب جهت اعمال رنگ آماده‌سازی شدند، سپس نمونه‌ها مجدداً در دستگاه مافوق صوت در محلول حاوی استن به مدت  $3$  دقیقه جهت

استفاده شد. همچنین، ارزیابی چسبندگی سامانه‌های پوششی با استاندارد ASTM D-۴۵۴۱ انجام گرفت [۱۸].

زمان ۲۴ ساعت بین مراحل پوشش دهی در نظر گرفته شد. علامت اختصاری استفاده شده در جدول ۱ نشان داده شده است.

### ۳- نتایج و بحث

**۱-۱- استحکام فشاری بتن، چسبندگی و ضخامت پوشش**

استحکام فشاری بتن پس از گذشت ۱۴ روز از تکمیل فرآیند هیدراسیون ۵۷/۱۴ MPa اندازه‌گیری شد [۲۱]. این استحکام بالا در اثر اختلاط صحیح و هوازدایی مناسب بتن با میزان تعاش دهنده امکان‌پذیر گردید. جهت تضمین کیفیت پوشش اعمال شده در محیط‌های خورنده، ضخامت رنگ بر روی آرماتور در هر سامانه با توجه به پیشنهاد شرکت سازنده رنگ و تحقیقات مشابه انجام شده لحاظ شد که مقادیر آن در جدول ۲ ذکر شده است. جهت تفسیر صحیح تر عملکرد هر سامانه از نقطه نظر چسبندگی به زیر لایه، هر سامانه پوششی بر روی ورقه‌های فولادی به ضخامت پوشش آرماتور اعمال گردید. این آزمون تفسیر صحیح تر از کاهش اتصال میان رنگ و آرماتور ناشی از فرایند خوردگی را نشان می‌دهد. نتایج آزمون چسبندگی رنگ در جدول ۲ نشان داده شده است.

جدول (۲): نیروی چسبندگی، ضخامت و درصد کنده شدن رنگ‌های اپوکسی، آلکیدی و آکلریک-ایزوسیانات

علامت اختصاری	نیروی چسبندگی (MPa)	ضخامت میانگین رنگ (%)	ضخامت میانگین (μm)
AC	۳/۲	۹۰٪-۹۵٪	۱۰±۷۰
ZR	۳/۷	۸۵٪-۹۰٪	۲۰±۱۱۰
P	4	۵٪-۱۰٪	۱۰±۱۱۰
AI	۲/۹	۹۵٪<	۱۰±۳۰
EP	۳/۸	۹۰٪-۹۵٪	۲۰±۲۳۰
PU	۴/۷	<۵٪	۱۰±۲۲۰

با توجه به جدول ۲، سامانه پلی یورتان دارای بیشترین چسبندگی به زیر لایه و سامانه آلکیدی رویه دارای کمترین چسبندگی به زیر لایه است. با توجه به این نتایج می‌توان پیش‌بینی نمود که سامانه

جدول (۱): علامت اختصاری استفاده شده در پژوهش

عنوان اصلی	علامت اختصاری
طرح اختلاط	A
آرماتور بدون پوشش	B
پوشش آستر آلکیدی (ضذریغ)	AC
پوشش رویه آلکیدی	Al
پوشش آستر اپوکسی غنی از روی	ZR
پوشش آستر اپوکسی پلی آمید	P
پوشش رویه اپوکسی پلی آمید	EP
پوشش رویه پلی یورتان	PU
پوشش پرایمر آلکیدی و رویه آلکیدی	AC-Al
پوشش پرایمر اپوکسی و رویه آلکیدی	P-Al

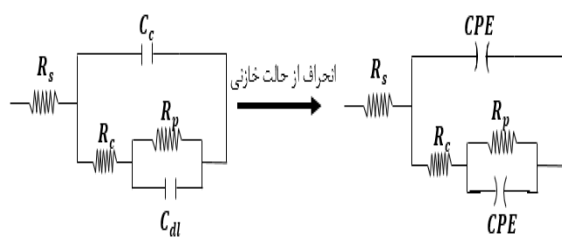
### ۳-۲- آزمون‌های ارزیابی بتن مسلح

آزمون استحکام فشاری مطابق با استاندارد ASTM C ۳۹-۹۶ توسط دستگاه ELE با سرعت بارگذاری ۵ kN/s انجام گرفت. در این پژوهش استحکام فشاری بعد از ۱۴ روز اندازه گیری شد. جهت انجام آزمون طیف‌سنجی امپدانس الکتروشیمیایی از دستگاه Potentiostat-Galvanostat Model ۲۳۷A تحت کنترل Analyzer HF Frequency Response ۱۲۵۵ SI برای دریافت پاسخ فرکانس استفاده گردید. در این آزمون از سیستم سه الکترودی استفاده شده است به گونه‌ای که الکترود کاری، آرماتور فولادی قرار گرفته در بستر بتن، الکترود کمکی، فولاد مقاوم در برابر خوردگی ۳۱۶ و الکترود مرجع کالولمل اشعاع SCE است. ۳۰ دقیقه برای هر نمونه جهت رسیدن به حالت پایا زمان داده شد. برای بررسی خواص بتن و آرماتور به طور همزمان، گستره‌ی کامل فرکانس (بالا، متوسط و پایین) در محدوده ۱۰ MHz-۱۰ mHz با دامنه ولتاژ ۱۰ mV تحلیل گردید [۱۷]. از الکترولیت محلول شیوه‌سازی شده آب دریا (۳/۵ NaCl) در محدوده

خازنی مطلق و در صورت انحراف از رفتار خازنی شبیه تغییر می‌کند. برای افزایش دقت انطباق منحنی‌های به دست آمده از عنصر فاز ثابت CPE استفاده می‌شود.

$$C = \frac{\omega^{-n}}{|CPE|} \quad (3)$$

اگر در رابطه  $n=1$  باشد رفتار خازنی ( $\omega$ ) سرعت زاویه‌ای) مطلق انتظار می‌رود [۲۲]. برای بررسی صحیح رفتار الکتروشیمیایی نمونه، طراحی یک مدار معادل مناسب ضروری است. مدار معادل آرماتور قرار گرفته در بتن برای اولین بار توسط رندلز پیشنهاد شد. پس از بررسی‌های متفاوت مدار شکل ۱ جهت شبیه‌سازی امپدانس الکتروشیمیایی سامانه‌های پوششی پیشنهاد گردید.



شکل (۱): مدار معادل آرماتور فولادی در بتن با مقاومت بالا

در شکل  $R_s$  مقاومت جرمان شده، مقاومت الکتریکی بین الکترود کاری و الکترود مرجع است. در مطالعات انجام گرفته بر روی بتن به علت نسبت بالای مقاومت بتن به مقاومت محلول می‌توان از آن صرفه نظر نمود.  $R_p$  مقاومت پلاریزاسیون، ناشی از لایه رویین اکسیدی تشکیل شده بر روی سطح آرماتور است که با افزایش مقاومت پلاریزاسیون نرخ خوردگی بر روی فلز پا به کاهش می‌یابد، بنابراین مقاومت پلاریزاسیون با نرخ خوردگی رابطه معکوس دارد.  $R_{Coat}$  مقاومت بتن،  $R_{Coat}$  مقاومت پوشش،  $CPE_{dl}$  عنصر فاز ثابت جایگزین لایه دوگانه و  $CPE_{Coat}$  عنصر فاز ثابت پوشش می‌باشد (مدار معادل مناسب توسط نرم‌افزار Z view انتخاب گردید). ظرفیت خازنی لایه دوگانه، تفسیری است از انباسته الکترواستاتیک بارهای غیر

پلی یورتان دارای بیشترین اتصال به زمینه و آخرین سامانه‌ای خواهد بود که اتصال خود را با زمینه از دست می‌دهد. همچنین نتایج آزمون‌های الکتروشیمیایی مؤید چنین رفتاری در بتن است.

### ۳-۲-۳- طیف‌سنجدی امپدانس الکتروشیمیایی

ترسیم قسمت مجازی امپدانس بر حسب قسمت حقیقی آن را با منحنی نایکوئیست نمایش می‌دهند. قطر این نیم‌دایره بستگی به مقاومت به خوردگی پوشش داشته و چنانچه فرکانس نوک این نیم‌دایره اندازه‌گیری گردد، با استفاده از فرمول (۱)، مقدار ظرفیت خازنی خوردگی یا پوشش محاسبه می‌گردد [۲۲ - ۲۳].

بنابراین به طور کلی در منحنی نایکوئیست:

$$[\bar{Z} - \left( R_s + \frac{R_p}{2} \right)]^2 + (Z'')^2 = \left( \frac{R_p}{2} \right)^2 \quad (1)$$

معادله (۱) دایره‌ای است به مرکز  $\bar{Z} = \left( R_s + \frac{R_p}{2} \right)$  که روی محور  $\bar{Z}$  قرار دارد و شعاع آن برابر با  $\frac{R_p}{2}$  است. در قله دایره (ماکریم مقدار  $|Z''| - Z$ ) می‌توان نشان داد که با دیفرانسیل گیری از  $Z$  نسبت به  $\bar{Z}$  و صفر قرار دادن آن داریم:

$$C = \frac{1}{\omega \cdot j \cdot Z} \quad |Z''|_{\max} \quad (2)$$

در تمامی اشکال  $R_s$  مقاومت محلول و  $R_p$  مقاومت انتقال بار است که گاهی با مقاومت پلاریزاسیون برابر می‌شود [۲۲].

نمودار بُد، صورت ترسیم مقدار امپدانس  $|Z|$  بر حسب فرکانس و نمودار بد-فاز، ترسیم زاویه امپدانس بر حسب فرکانس است. مزیت اصلی این منحنی نمایش فرکانس است که در مقادیر بسیار بالای فرکانس، قدر مطلق امپدانس به سمت مقاومت کل سیستم میل فرکانس‌های بسیار پایین امپدانس به سمت مقاومت کل سیستم میل می‌کند [۲۵]. در شرایطی که زاویه در منحنی بد-فاز برابر صفر باشد، رفتار مقاومتی خالص و زمانی که از صفر منحرف می‌شود، رفتار خازنی نمود پیدا می‌کند و در زاویه  $90^\circ$  درجه، سیستم رفتار خازنی مطلق خواهد داشت. در منحنی بُد نیز شبیه ۱- مؤید رفتار

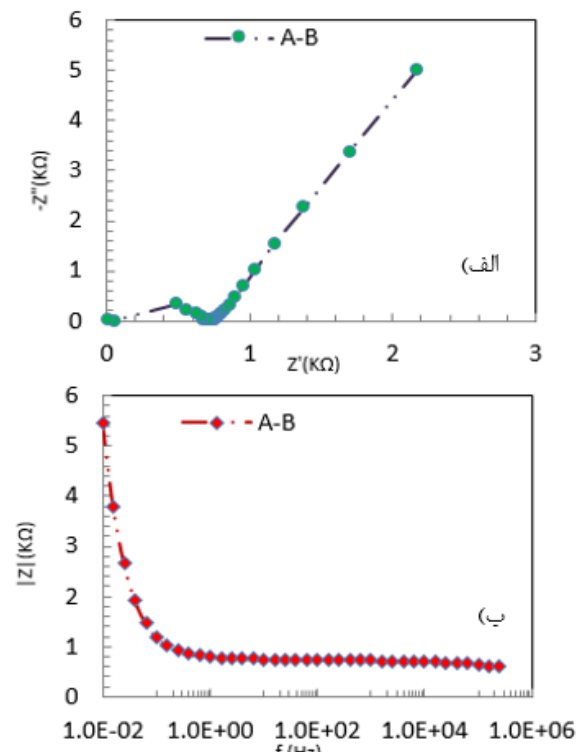
منحنی شکل ۲ ب (منحنی بد)، نیز برای مقایسه مقاومت کل (تقاطع منحنی با محور عمودی) که در طرح اختلاط اول و آرماتور بدون پوشش، مجموع مقاومت‌های انتقال بار و بتن ( $R_p + R_s$ ) و در حالت اعمال پوشش مجموع سه مقاومت انتقال بار، مقاومت بتن و مقاومت پوشش ( $R_p + R_{Coat} + R_{Con}$ ) است، استفاده شد.

در تمامی موارد، انحراف از حالت خازنی مطلق (شیب منفی یک منحنی بد) مشاهده شد. مقدار مقاومت پلاریزاسیون به دست آمده منطبق بر مطالعات مشابه در گستره‌ی کیلو اهم و ظرفیت خازنی لایه اکسیدی متخلخل محافظه و بتن به ترتیب گستره‌ی میکرو و میلی فاراد بر سانتی‌متر مربع گزارش شده است [۲۳]. نتایج نشان می‌دهد بتن استفاده شده با توجه به جدول ۳ و منحنی نایکوئیست شکل ۲ دارای مقاومت پایین و ظرفیت خازنی بالای می‌باشد. لذا در گروه بتن‌های با مقاومت پایین قرار می‌گیرد (با توجه به رابطه‌ی عکس مقاومت موهومنی با ظرفیت خازنی ازیک طرف و اندازه مقاومت حقیقی پایین در منحنی نایکوئیست می‌توان چنین مقاومت پایینی را از منحنی نایکوئیست قبل از محاسبات نرم‌افزار پیش‌بینی نمود). تحقیقات مشابه نیز مقاومت بتن بدون افزودنی را در گستره‌ی  $200 \Omega \text{ cm}^2$  در گزارش نموده‌اند [۲۷]. لذا استفاده از این نوع طرح اختلاط در محیط‌های خورنده پیشنهاد نمی‌شود. اکنون با طرح اختلاط موجود اثر سامانه‌های پوششی را موردنرسی قرار می‌دهیم.

### ۳-۱-۲- سامانه پوشش‌های آستری

در شکل ۳ منحنی نایکوئیست مربوط به سه سامانه پوششی آستری نشان داده شده است. منحنی نایکوئیست آسترها رنگ استفاده شده بر روی آرماتور فولادی نشان می‌دهد که آستر اپوکسی‌پلی-آمید دارای بیشترین مقاومت [۲] (به علت استفاده از رنگدانه و افزودنی‌های آلی غیر هادی در تولید رنگ) و آستری اپوکسی غنی از روی و آستری آلکیدی دارای مقاومت پایین‌تری هستند.

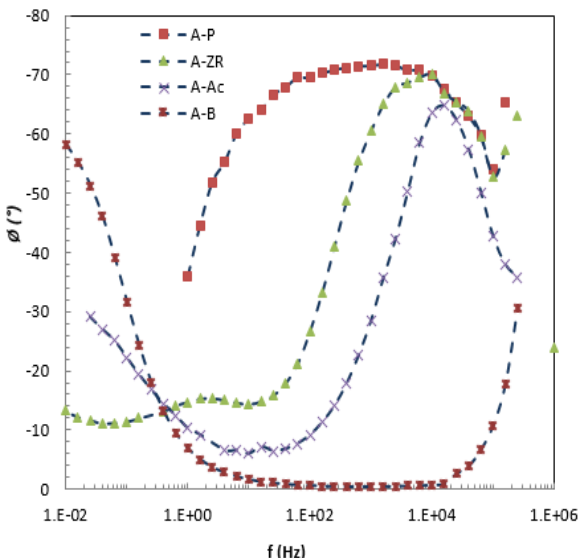
همنام در نزدیکی سطح فلز به گونه‌ای که این مقدار تابعی از ساختار و مشخصات ماده می‌باشد. ظرفیت خازنی لایه دوگانه در بتن معمولاً در محدوده‌ی  $10 - 40 \frac{\mu\text{F}}{\text{cm}^2}$  تغییر می‌کند [۲۳]. در کلیه مدارهای ارائه شده انحراف از حالت خازنی به دو دلیل: ۱- عدم یکنواختی توزیع ضخامت لایه اکسیدی محافظه بر روی سطح آرماتور و ۲- توزیع نایکنواخت عیوب در لایه به وجود می‌آید [۱۵]. شکل ۲ منحنی‌های نایکوئیست و بُد مربوط به آرماتور فولادی بدون پوشش را نشان می‌دهد. با توجه به شکل ۲ الف، (منحنی نایکوئیست) تشخیص داده شد که در تحلیل مدار، دو ثابت زمانی (به علت وجود دو نیم‌دایره) و به ازای هر ثابت زمانی یک مقاومت در مدار معادل وجود دارد؛ که صحت این ادعای را می‌توان به علت وجود دو تقریر در منحنی بد- فاز تائید نمود. در این پژوهش ایجاد تقریر در فرکانس بالا، مربوط به پارامترهای متغیر بتن (مقاومت و ظرفیت خازنی) و در فرکانس‌های زیر ۱ Hz وجود مربوط به لایه اکسیدی روین و در فرکانس‌های زیر ۱ Hz تقریر مرتبه‌ی ایجاد شده بر روی سطح آرماتور می‌باشد.



شکل (۲): منحنی: (الف): نایکوئیست و (ب): بُد آرماتور بدون پوشش

پلی آمید و ذرات روی ۶۵٪ وزنی کل رنگ در زمینه اپوکسی، با ذراتی به خلوص ۹۹٪ است، این ذرات باعث کاهش مقاومت (افزایش هدایت) رنگ می‌گردند؛ اما این کاهش مقاومت به متزله کاهش مقاومت به خوردگی نیست [۲۱]، چراکه ماهیت رنگ‌های استفاده شده از حیث رنگ‌دانه متفاوت می‌باشد.

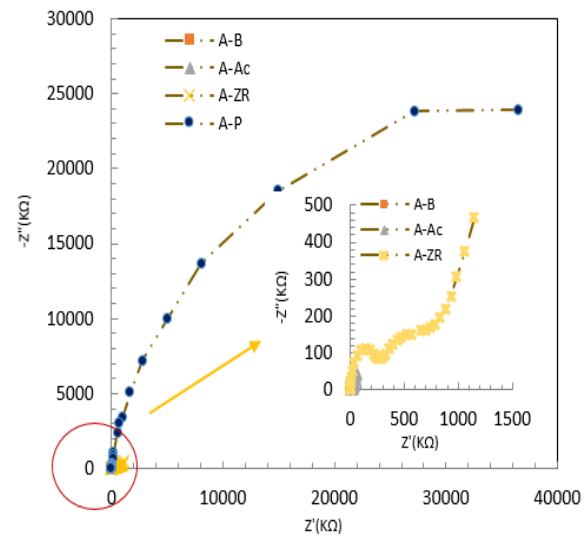
لذا زمانی می‌توان تفسیر جامع و صحیحی ارائه داد که پوشش‌ها همگی غیر هادی بوده و بتوان آن‌ها را از این دیدگاه مطالعه نمود، چنانچه چنین افت مقاومتی در نمونه‌ی گالوانیزه نیز مشاهده خواهد شد. مقاومت پوشش آستر آلکیدی  $297 \text{ k}\Omega\cdot\text{cm}^2$  محاسبه گردید. مطابق با شکل ۵ پوشش اپوکسی پلی آمید یک ثابت زمانی (تععر) را از خود نشان می‌دهد. این پدیده در تمام پوشش‌های با مقاومت بالا (نسبت به بتن) مشاهده می‌شود که دلیل آن ادغام دو ثابت زمانی، یا چند ثابت زمانی در یک ثابت است. بدین معنا که به علت اختلاف زیاد مقاومت چند جزء، ثابت زمانی اجزاء با مقاومت کمتر (مقاومت بتن) حذف می‌گردد.



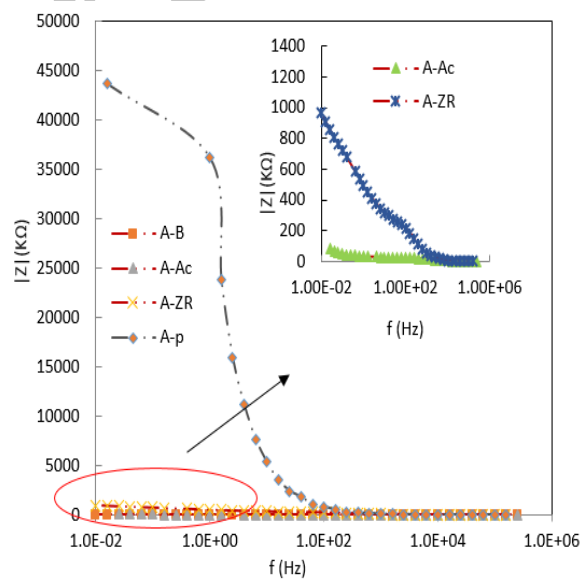
شکل (۵): منحنی بُعد-قاز سامانه‌های A-P، A-ZR و A-AC

لذا در تمامی جداول گزارش شده بعدی فقط مقاومت و ظرفیت خازنی پوشش ارائه شده است.

وجود ثابت زمانی سوم که فقط در پوشش غنی از روی مشاهده شد با پدیده امپدانس واربرگ توجیه می‌گردد (کنترل سیستم



شکل (۳): منحنی نایکوئیست سامانه A-B، A-ZR و A-P در مقایسه با



شکل (۴): منحنی بُعد سامانه‌های A-B، A-ZR و A-AC در مقایسه با

در هنگام انتخاب هر سامانه حفاظتی باید به مجموع عوامل تأثیرگذار در کاهش یا افزایش مقاومت یا به عبارتی مجموع مقاومت‌های موجود در سیستم توجه خاص نمود، در این راستا جهت مقایسه مطلوب‌تر منحنی بُعد در شکل ۴ نشان داده شده است. شکل ۴ نشان می‌دهد آستری اپوکسی پلی آمید دارای بیشترین مقاومت و اختلاف زیادی با سامانه اپوکسی غنی از روی دارد. سامانه پوششی اپوکسی غنی از روی، متشکل از دو جزء اپوکسی

$80 \text{ M}\Omega \cdot \text{cm}^2$  بیشترین مقاومت در سامانه‌های آستری استفاده را داراست و در رده‌های بعدی آستری اپوکسی غنی از روی و سپس آسترها آلکیدی قرار می‌گیرند.

پوششی تحت دیفوژیون واکنش‌های کاتدی و به وجود آمدن خطی با زاویه ۴۵ درجه در منحنی نایکوئیست و معمولاً  $n=0.5$  در جدول ۳ مقادیر کمی هر متغیر نشان داده شده است. با توجه به مقادیر منحنی شکل ۴ پوشش اپوکسی پلی آمید با مقاومت حدود

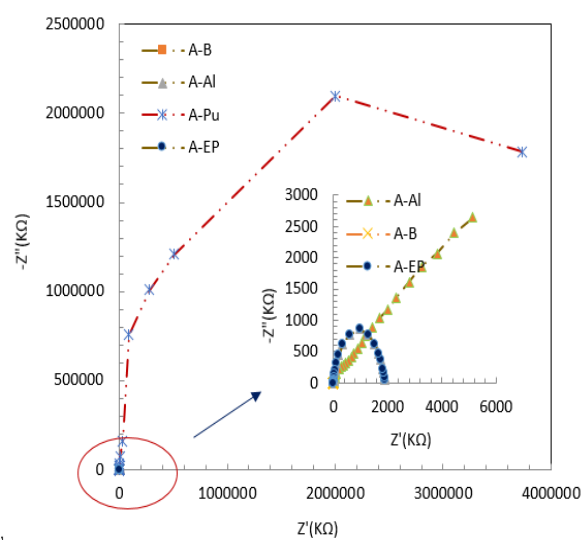
جدول (۳): مقادیر اجزاء مدار در سامانه A-P و A-ZR، A-AC

Parametre	R(k $\Omega$ )	CPE( $\mu\text{F}/\text{cm}^2$ )	n
A-B	Concrete	۱/۲۳	۰/۸۴
	Plarization	۴/۳۳	۰/۹۷
	coat	-	-
A-AC	Concrete	۱/۷۳	۰/۷۲
	Plarization	۲۷/۳	۰/۸۸
	coat	۲۹۷/۳	۰/۸۳
A-ZR	Concrete	-	-
	Plarization	۳۴۹	۰/۸۲
	coat	۱۳۲۴	۰/۸۹
A-P	Concrete	-	-
	Plarization	-	-
	coat	۸۰۰۰	۰/۹۴

مقاومت بسیار بالای پلی یورتان در منحنی نایکوئیست به خوبی مشاهده می‌گردد. در بین پوشش‌های استفاده شده در این قسمت سامانه پوششی پلی یورتان دارای بیشترین مقاومت و مشابه با سامانه اپوکسی پلی آمید اختلاف زیادی با سامانه‌های دیگر از خود نشان می‌دهد. اپوکسی پلی یورتان در خانواده رنگ‌های دوجزئی ایزوسیانات-آلکیدیک قرار می‌گیرد.

مطابق با تحقیقات مشابه نتایج نشان می‌دهد این پوشش‌ها دارای نفوذی بسیار پایین و چسبندگی بسیار بالا (مطابق با آزمون چسبندگی رنگ) می‌باشند [۱۲]. برای مقایسه مقاومت مجموع (مقاومت‌های پوشش و بتن) از منحنی بُد استفاده شد. منحنی بُد مربوط به رنگ‌های رویه اپوکسی پلی آمید، پلی یورتان و آلکیدی در شکل ۷ نشان داده شده است. در بین رنگ‌های رویه اپوکسی، پلی یورتان دارای بیشترین مقاومت می‌باشد. در مرحله بعد سامانه پوششی آلکیدی و بعد از آن اپوکسی پلی آمید قرار می‌گیرد. در پوشش‌های رویه پوشش آلکیدی دارای مقاومت

۲-۲-۳- سامانه پوششی رویه  
منحنی‌های نایکوئیست مربوط به رنگ‌های رویه اپوکسی پلی آمید، پلی یورتان و آلکیدی در شکل ۶ نشان داده شده است.

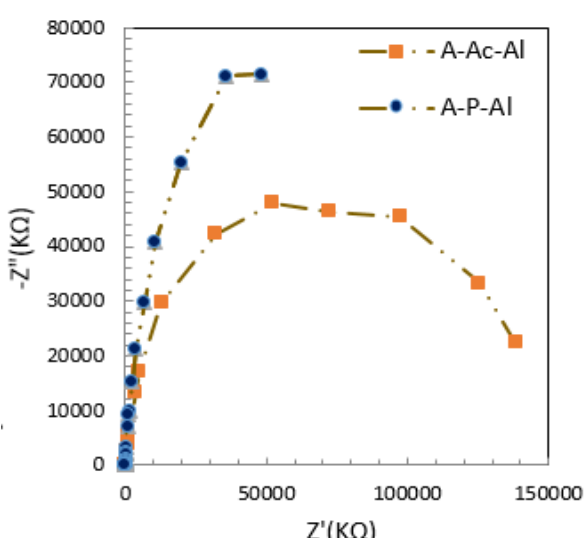


شکل (۶): منحنی نایکوئیست رنگ‌های رویه اپوکسی پلی آمید، آلکیدی و پلی یورتان

دارای ظرفیت خازنی بسیار پایین (در گستره‌ی پیکو فاراد) است. جدول ۴ پارامترهای موجود در هر سامانه‌های پوششی رنگ رویه اپوکسی پلی آمید، پلی یورتان و آلکیدی را نشان می‌دهد.

### ۳-۲-۳- سامانه پوششی رنگ‌های دولایه (آستر- رویه)

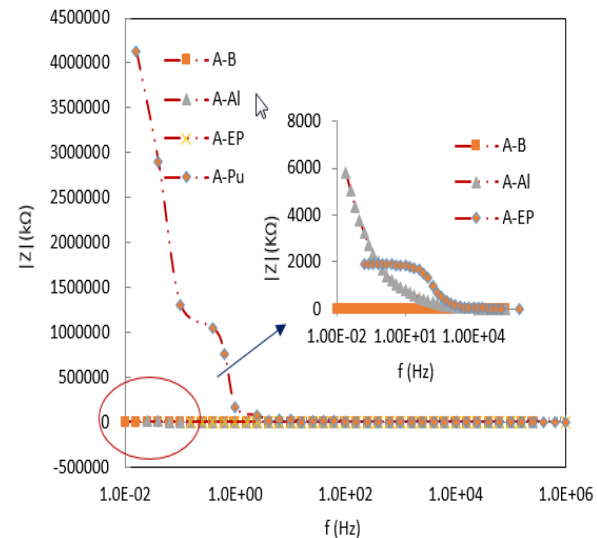
در شکل ۸ منحنی نایکوئیست فولاد با پوشش آستر اپوکسی پلی آمید و آستر آلکیدی با رنگ رویه آلکیدی نشان داده شده است. دو حالت انتخاب شده دو آستری با بیشترین و کمترین مقاومت و رنگ رویه با کمترین مقاومت به خوردگی (پارامترهای اقتصادی لحاظ شده) است. دلیل استفاده از رنگ رویه با مقاومت به خوردگی کم این است که با استفاده از دو پوشش (آستری و رویه) با مقاومت کم تا چه میزان می‌توان باعث بهبود مقاومت به خوردگی شد و متقابلاً استفاده از یک پوشش رویه ضعیف چه تأثیری بر یک زیر لایه مقاوم در برابر خوردگی می‌گذارد.



شکل (۸): منحنی نایکوئیست سامانه پوششی رنگ‌های آستر آلکیدی و اپوکسی پلی آمید با رنگ رویه آلکیدی

نتایج شکل ۸ بوضوح نشان می‌دهد استفاده از رنگ رویه آلکیدی بر روی آستر آلکیدی باعث افزایش مقاومت لایه نسبت به سامانه پوششی آستر اپوکسی پلی آمید با رویه آلکیدی شده است. به عبارتی پوشش آستری آلکیدی که در قسمت آستری

بالاتری از پوشش اپوکسی پلی آمید می‌باشد. این در حالی است که استفاده از پوشش‌های آلکیدی رویه به عنوان جایگزین پوشش‌های اپوکسی پلی آمید در صنعت به هیچ وجه توصیه نمی‌شود.

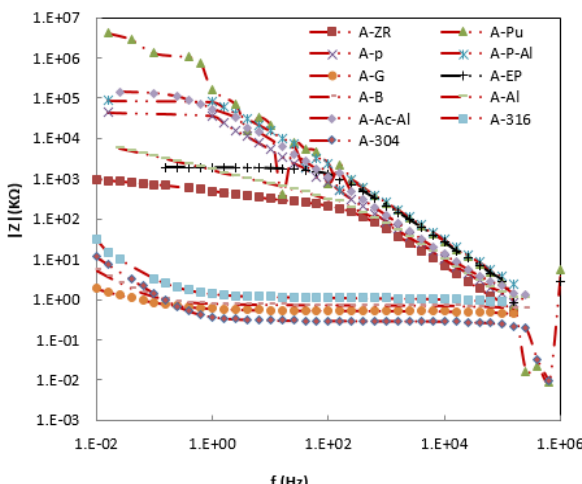


شکل (۷): منحنی بُعد رنگ‌های رویه اپوکسی پلی آمید، پلی یورتان و آلکیدی

جدول (۴): سامانه‌های پوششی رویه اپوکسی پلی آمید، پلی یورتان و آلکیدی

Parametr e	R(kΩ)	CPE(µF/c m²)	n
A-Al	Concrete	-	-
	Plarizatio n	۱۲۳	۳/۷۲۱
	coat	۶۰۱۴	۱/۳۳
A-EP	Concrete	-	-
	Plarizatio n	-	-
	coat	۲۰۱۰	۰/۰۱۸
A- PU	Concrete	-	-
	Plarizatio n	-	-
	coat	۷۳۱۰۰۰	۰/۰۰۴۵

مطابق با جدول ۴ پوشش پلی یورتان دارای  $7/3G\Omega.cm^2$  مقاومتی پوششی است که مورداستفاده قرار گرفت. این پوشش



شکل (۹): منحنی های بُعد فولاد با سامانه پوششی آستری، رویه، آستری- رویه

اختلاف بسیار زیاد اپوکسی پلی یورتان در نمودار شکل ۱۰ به خوبی مشاهده می شود. مقاومت هر سامانه در سمت راست نمودار بزرگنمایی شده است.

جدول (۶): مقایسه مقاومت معادل برای هر یک از سامانه های پوششی استفاده شده جهت حفاظت از آرماتور در بتن

روش حفاظت	مقادیر (kΩ.cm²)	روش حفاظت	مقادیر (kΩ.cm²)
A-B	۵/۰۱۶	A-P	۷۹۸۶۹
A-G	۲/۶۹	A-EP	۲۰۳۵
A-304	۱۰/۳۸	A-PU	۷۲۹۹۳۴۱
A-316	۳۲/۴۱	A-Al	۵۰۶۷
A-AC	۲۹۸/۲۲	A-AC-Al	۱۳۳۰۹۸
A-ZR	۱۲۸۹	A-P-Al	۸۲۰۱۹

مقایسه نسبت افزایش مقاومت کل نسبت با آرماتور فولادی بدون پوشش بر اساس داده های آزمون امپدانس الکتروشیمیایی در جدول ۷ نشان داده شده است.

مورد بررسی قرار گرفت با مقاومت  $297 \text{ k}\Omega.\text{cm}^2$  پایین ترین و آستر اپوکسی پلی آمید با  $80 \text{ M}\Omega.\text{cm}^2$  دارای بیشترین مقاومت گزارش شدند، در صورتی که در مرحله اعمال زنگ رویه آستر آلکیدی با پوشش رویه آلکیدی به مقاومت بیشتر (حدود  $140 \text{ M}\Omega.\text{cm}^2$  نسبت به  $82 \text{ M}\Omega.\text{cm}^2$  آستر اپوکسی پلی آمید) رسیده است. این موضوع را می توان به چسبندگی بهتر آلکیدی رویه به آلکیدی آستر نسبت به اپوکسی پلی آمید نسبت داد. در جدول ۵ مقدار متغیرهای مدار معادل، آستر اپوکسی پلی آمید با رویه آلکیدی و آستر آلکیدی با رویه آلکیدی نشان داده شده است.

بنابراین در بین سامانه های به کاربرده شده، سامانه پوششی پلی یورتان با  $7/3 \text{ G}\Omega.\text{cm}^2$  دارای بیشترین مقاومت و آستر آلکیدی با  $297 \text{ k}\Omega.\text{cm}^2$  کمترین مقاومت را دارا بودند.

جدول (۵): پارامتر سامانه های پوششی آستر آلکیدی با زنگ رویه آلکیدی و اپوکسی پلی آمید با زنگ رویه آلکیدی

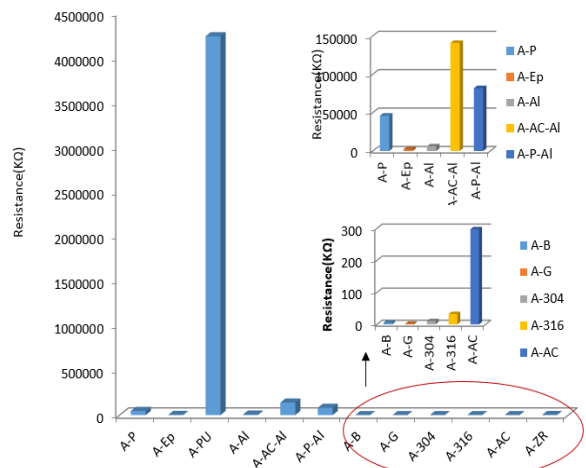
Parametr e	R(kΩ)	CPE(μF/ cm²)	n
A-AC-Al	Concrete	-	-
	Plarizatio n	-	-
	coat	۱۳۹۰۶۷	۰/۰۰۲۸۴
A-P-Al	Concrete	-	-
	Plarizatio n	-	-
	coat	۸۲۳۵۷	۰/۰۰۳۱۹

بر اساس شکل ۹ فولاد با سامانه اپوکسی پلی یورتان دارای بالاترین مقاومت و فولاد با پوشش آلکیدی دارای کمترین مقاومت در بتن می باشد (جهت مقایسه فولاد با پوشش گالوانیزه و تغییر جنس آرماتور با فولادهای زنگ نزن ۳۰۴ و ۳۱۶ نیز در پایان مقایسه وارد گردید). پس از آن به ترتیب فولاد با سامانه آستر آلکیدی- رویه آلکیدی قرار می گیرد. میزان دقیق هر مقاومت در جدول ۶ و جهت مقایسه بهتر در نمودار شکل ۱۰ نشان داده شده است.

آمید-آلکیدی در ردهی بعدی قرار می‌گیرند. سامانه آلکیدی-آلکیدی به علت چسبندگی خوب دو لایه به هم و اپوکسی-آلکیدی نیز به علت چسبندگی بسیار بالای پوشش آستری به سطح (به استناد به داده‌های آزمون چسبندگی رنگ) دارای مقاومت بالایی هستند. سپس سامانه‌های پوششی آستر اپوکسی پلی آمید، رویه آلکیدی، رویه اپوکسی پلی آمید، آستر آلکیدی، فولاد مقاوم در برابر خوردگی ۳۰۴، ۳۱۶ و فولاد ساده کربنی قرار می‌گیرد.

## ۵- مراجع

- [1] El-Reedy, "Steel reinforced concrete structures assessment and repair of corrosion", CRC Press, pp. 7-12, 2007.
- [2] L. Kepler, D. Darwin & C. E. Locke, "Evaluation corrosion protection methods for reinforced concrete highway structures", University of Kansas Center for Research, Inc., 2000.
- [3] ح. ناظمی، م. درخشش و ح. ابراهیم خانی، "بررسی مقاومت به خوردگی آرماتورهای فولادی در بتن و نقش افزودنی‌های الیاف پلی استر و نانوپلیس در آن"، فرآیندهای نوین در مهندسی مواد، دوره هشتم، شماره چهارم، صفحه ۱۱۵-۱۲۳، ۱۳۹۳.
- [4] م. آقابابایی بنی و م. پاکشیر، "بررسی اثر دما و غلظت اسید سولفوریک بر خوردگی تاج لوله‌های بتن"، فرآیندهای نوین در مهندسی مواد، دوره دهم، شماره چهارم، صفحه ۲۵-۳۱، ۱۳۹۵.
- [5] P. Refait, M. Abdelmoula, J. Marie, R. Genin & Rene Sabot, "Green rusts in electrochemical and microbially influenced corrosion of steel", Geoscience, Vol. 338, pp. 476-487, 2006.
- [6] Sh. Ahmad, "Reinforcement corrosion in concrete structures, its monitoring and service life prediction a-review", Cement and Concrete Composites, Vol. 25, pp. 447-459, 2003.
- [7] J. K. Buffenbarger, M. A. Miltenberger, B. D. Miller & H. L. Casal, "Long-term performance of organic inhibitors", Int. Congress on Advanced



شکل (۱۰): نمودار مقایسه مقاومت معادل مدار سامانه‌های پوشش حفاظتی از خوردگی فولاد در بتن

جدول (۷): ضریب افزایش مقاومت در هریک از سامانه‌های حفاظتی نسبت به آرماتور بدون پوشش

روش حفاظت	نسبت افزایش مقاومت	روش حفاظت	نسبت افزایش مقاومت
A-B	۱	A-P	۱۵۹۲۲/۸۴
A-G	.۰۵۳	A-Ep	۴۰۵/۷۰
A-304	۲/۰۶	A-PU	۱۴۵۵۱۹۱
A-316	۶/۴۶	A-Al	۱۰۱۰/۱۶
A-AC	۴۵۹/	A-AC-Al	۲۶۵۳۴/۶۸
A-ZR	۲۵۶/۹۸	A-P-Al	۱۶۳۵۱/۴۷

در پایان لازم به ذکر است، استفاده از نتایج آزمون تسریع شده خوردگی در کنار روش قدرتمند طیف‌سننجی امپدانس الکتروشیمیایی تحلیل جامع‌تری را ارائه خواهد داد.

## ۶- نتیجه‌گیری

بر اساس تحلیل‌های انجام شده یکی از بهترین معیارهای مقایسه در آزمون امپدانس الکتروشیمیایی بررسی مقاومت کل معادل مدار (با توجه به منحنی‌های بُد) می‌باشد که برآیند کل روش‌های اعمالی در جهت افزایش مقاومت به خوردگی را نشان می‌دهد. لذا آرماتور با پوشش پلی یورتان دارای بیشترین مقاومت و به ترتیب، سامانه پوششی آستر-رویه، آلکیدی-آلکیدی و اپوکسی پلی

- [18] K. Saravanan, S. Sathiyanarayanan, S. Muralidharan, S. Syed Azim & G. Venkatachari, "Performance evaluation of polyaniline pigmented epoxy coating for corrosion protection of steel in concrete environment", *Progress in Organic Coatings*, Vol. 59, pp. 160-167, 2007.
- [19] F. Mansfeld, M. W. Kendig & S. Tsai, "Evaluation of corrosion behavior of coated metals with AC impedance measurement", *Corrosion NACE*, Vol. 38, No. 9, pp. 478-485, 1982.
- [20] ASTM D45-41, "Standard specification for pull off test", American Society for Testing and Materials, Philadelphia, PA, Vol. 4, No. 2, 1998.
- [21] W. Chalee, et al. "Predicting the chloride of fly ash concrete in sea water", *Marine Structures*, Vol. 22, No. 3, pp. 341-353, 2009.
- [22] ASTM C595, "Standard specification for blended hydraulic cements", American Society for Testing and Materials, West Conshohocken, PA, 2002.
- [23] J. Lich, "Coating thickness", *Materials Performance*, Vol. 45, pp. 3212-3222, 2001.
- [24] R. Soleimani & M. E. Ismail, "Comparing corrosion measurement methods to assess the corrosion activity of laboratory OPC and HPC concrete specimens", *Cement and Concrete Research*, Vol. 34, pp. 2037-2044, 2004.
- [25] J. R. Scully, "Electrochemical impedance analysis and interpretation", ASTM, 1993.
- [26] G. Qiao & J. Oua, "Corrosion monitoring of reinforcing steel in cement mortar by EIS and ENA", *Electrochimica Acta*, Vol. 52, No. 28, pp. 8008-8019, 2007.
- [27] Husain, et al. "Accelerated AC impedance testing for prequalification of marine construction materials", *Desalination*, Vol. 165, pp. 377-384, 2004.
- Materials, Their Processes and Applications, Munich, Germany, 2000.
- [8] K. Barton, "Protection against atmospheric corrosion", Wiley, New York, pp. 64-110, 1976.
- [9] G. Tansug, et al., "Mild steel protection with epoxy top coated polypyrrole and polyaniline in 3.5% NaCl", PPT Lecture at University of Ukuropa, 2006.
- [10] P. A. Schweitzer, "Paint and coatings: applications and corrosion resistance", Taylor and Francis, pp. 120-160, 2006.
- [11] P. A. Schweitzer, "Corrosion resistance tables", Fifth Edition Report, Vol. 4, pp. 2793-2796, 2004.
- [12] R. Selvaraj, et al., "Studies on the evaluation of the performance of organic coatings used for the prevention of corrosion of steel rebars in concrete structures", *Progress in Organic Coatings*, Vol. 64, No. 4, pp. 134-141, 2009.
- [13] Y. P. Virmani, "Multiple corrosion protection systems for reinforced concrete bridge components", Federal Highway Administration, 2007.
- [14] D. Loveday, P. Peterson & D. Rodgers, "Evaluation of organic coatings with electrochemical impedance spectroscopy", *JCT Coating Technology*, Vol. 8, pp. 46-52, 2004.
- [15] M. S. Anchez & J. Gregori, "Anodic growth of passive layers on steel rebars in an alkaline medium simulating the concrete pores", *Electrochimica Acta*, Vol. 52, No. 1, pp. 47-53, 2006.
- [16] J. M. Loche & A. Ammar, "Influence of the migration of chloride ions on the electrochemical impedance spectroscopy of mortar paste", *Cement and Concrete Research*, Vol. 35, No. 1, pp. 1797-1803, 2005.
- [17] Z. Q. Tan, "Effect of surface condition on the initial corrosion of galvanized reinforcing steel embedded in concrete", *Corrosion Science*, Vol. 50, No. 9, pp. 2512-2522, 2008.

## Corrosion behavior of industrial inorganic coating upon the reinforcement through electrochemical impedance spectroscopy

Yadollah Yaghoubinezhad<sup>1</sup>\*, Abdollah Afshar<sup>2</sup>, Abolghasem Dolati<sup>2</sup>

1- Assistant professor, Department of mechanical and materials engineering, Birjand University of Technology, Birjand, Khorasan Jonoubi, Iran

2- Professor, Department of materials science and engineering, Sharif University of Technology, Tehran, Iran

\*Corresponding author: Yaghoubinezhad@birjandut.ac.ir

### Abstract

In this study, the effect of several industrial protective coatings such as alkyd base primer, zinc rich primer and polyamide primer coatings in comparison with the surface paints comprising alkyd, polyamide and polyamine were carefully investigated. For evaluating corrosion and durability of concrete properties, strength of the mixture, the Electrochemical Impedance Spectroscopy (EIS) and pull off tests was accomplished. The results were significantly demonstrated that the EIS technique could be performed as a nondestructive and accurate procedure for corrosion evaluating in rebar coating. Moreover, the correlative coating of isocyanide-acrylic with an impedance of  $7.3 \text{ G}\Omega\cdot\text{cm}^2$  depicted the best response to corrosion in corrosive environments.

**Keywords:** Corrosion, Paint, Concrete, Rebar, Electrochemical Impedance Spectroscopy.

Journal homepage: ma.iaumajlesi.ac.ir

### Please cite this article using:

Yadollah Yaghoubinezhad, Abdollah Afshar, Abolghasem Dolati, Corrosion behavior of industrial inorganic coating upon the reinforcement through electrochemical impedance spectroscopy, in Persian, New Process in Material Engineering, 2018, 12(3), 1-13.